

«یادداشت فنی»

ارایه مدل ریاضی عملیاتی بر مبنای برنامه‌ریزی عدد صحیح برای برنامه‌ریزی تولید کوتاه مدت معادن روباز

احمد جعفری^۱؛ عباس ابراهیمی دنجکلایی^۲؛ جواد غلام نژاد^{*۳}

۱- استادیار دانشکده مهندسی معدن، پردیس دانشکده‌های فنی، دانشگاه تهران؛

۲- دانشجوی کارشناسی ارشد، دانشگاه تهران، پردیس دانشکده های فنی، دانشکده مهندسی معدن

۳- استادیار دانشکده مهندسی معدن و متالورژی، دانشگاه یزد؛

Email: ajafari@ut.ac.ir

(دریافت ۴ آذر ۸۳۸۸، پذیرش ۲۸ مرداد ۸۳۸۹)

چکیده

برنامه ریزی تولید کوتاه مدت چگونگی ترتیب استخراج بلوک‌های کانسنس و باطله را برای دوره‌های زمانی شیفتی، روزانه، هفتگی یا ماهانه تعیین می‌کند. هدف از این برنامه‌ریزی تعیین زمان استخراج بلوک‌ها به‌گونه‌ای است که محدودیت‌هایی نظیر حداقل و حداًکثر عیار مواد ارسالی به کارخانه فرآوری، تناز کانسنس و باطله استخراجی از معدن، شبیب معدن و غیره در هر دوره زمانی برآورده شوند. تاکنون مدل‌های ریاضی متعددی برای برنامه ریزی تولید کوتاه‌مدت ارائه شده است، اما به دلیل این‌که این مدل‌ها نتوانستند محدودیت فضای کاری برای ماشین آلات را در مدل‌سازی به طور موثر پیاده کنند، از لحاظ عملیاتی قابل اجرا نیستند. در این مقاله، مدل موجود برای برنامه‌ریزی تولید کوتاه مدت طوری بسط داده شده است که جواب بدست آمده از حل آنها تضمین می‌کند که قبل از استخراج هر بلوک نه تنها باید ۹ بلوک فوکانی آن برداشت شود بلکه باید ۲ یا ۳ بلوک موجود در پیش روی آن بلوک، در همان سطح، نیز استخراج شود. در این راستا محدودیت دسترسی به بلوک‌های موجود در یک تراز معدن روباز تعریف شد. این مدل‌ها دارای یکتابع هدف و تعدادی محدودیت هستند و شرط فراهم بودن فضای کاری برای ماشین آلات در قالب محدودیت دسترسی وارد مدل شد. همچنین در این مقاله ابتدا سه مدل ریاضی مختلف برای برنامه ریزی تولید کوتاه مدت بیان شده است. هر سه مدل بر پایه برنامه‌ریزی خطی عدد صحیح می‌باشند و تقاآوت آنها در روش دسترسی به بلوک‌های واقع در پله هم تراز است. در نهایت با ذکر یک مثال این سه مدل در نرم افزار Excel 2007 Premium Solver Version 9.0 مقایسه شده‌اند.

کلمات کلیدی

برنامه‌ریزی تولید کوتاه مدت، معدن روباز، محدودیت دسترسی، برنامه‌ریزی خطی عدد صحیح

* نویسنده مسئول و عهده‌دار مکاتبات

8- مقدمه

در ابتداء علائم اختصاری استفاده شده در مدل ریاضی برنامه‌ریزی کوتاه مدت تشریح می‌شود:

t : بازه زمانی است که برنامه‌ریزی در آن انجام می‌شود،

T : تعداد کل بازه‌های زمانی برنامه‌ریزی، $T = 1,2,5, \dots$

$x_{i,j,k}$: مختصات بلوک در جهت محور مختصاتی x, y, z

$I_{i,j,k}$: شماره کلی بلوک موجود در مدل بلوکی در جهت-های x, y, z

Y_{ijk}^t : یک متغیر تصمیم صفر و یک است که اگر بلوک i, j, k در بازه زمانی t استخراج شود، مقدار آن برابر با یک و در غیر این صورت برابر با صفر است،

g_{ijk}^c : عیار عنصر c موجود در بلوک k که اگر $c=1,2,5, \dots$ باشد آنگاه C تعداد عناصر مراحم موجود در بلوک k, j, i است و اگر $c=C+1, C+2, \dots, P$ آنگاه پارامتر P شاخصی برای وجود عناصر مفید موجود در بلوک k, j, i می‌باشد،

TO_{ijk} : تناز کانسنگ موجود در بلوک i, j, k

TW_{ijk} : تناز باطله موجود در بلوک k, j, i

G_u^c : حد بالایی عیار متوسط مواد ارسالی به کارخانه فراوری در خصوص عنصر c

G_l^c : حد پایینی، عیار متوسط مواد ارسالی به کارخانه فراوری در خصوص عنصر c

OC_{\max}^t : حدکثر کل تناز کانسنگی که باید توسط کارخانه در دوره زمانی t فراوری شود.

OC_{\min}^t : حداقل کل تناز کانسنگی که باید توسط کارخانه در دوره زمانی t فراوری شود.

TC_{\max}^t : حد بالایی کل سنگ، اعم از باطله و کانسنگ، که می‌تواند در دوره زمانی t معدنکاری شود.

TC_{\min}^t : حداقل مقدار سنگ، اعم از باطله و کانسنگ، که باید در دوره t معدنکاری شود.

با توجه به تعاریف فوق، شکل اولیه مدل برنامه‌ریزی تولید کوتاه مدت شامل قسمت‌های زیر است:

تابع هدف: هدف از استفاده از برنامه‌ریزی ریاضی در برنامه‌ریزی تولید، تعیین ترتیب بهینه استخراج بلوکها است [5]. این بهینه‌سازی می‌تواند بر اساس تابع هدف مختلفی صورت گیرد. در این مقاله دو نوع تابع هدف بررسی می‌شود؛ یکی استفاده از یک تابع هدف منفرد بطوریکه این تابع منجر به ارایه برنامه‌ریزی تولیدی برای کوتاه مدت شود که اهداف برنامه‌ریزی تولید بلند مدت در آن برآورده گردد. به عنوان مثال، استخراج بلوک‌هایی با درصد عناصر مراحم بیشتر در

هدف اصلی در برنامه‌ریزی تولید بلند مدت، تحلیل جریان نقدینگی و تهیه نقشه‌های سالانه پیشروی، مراحل رشد معدن روباز در طی زمان، است در حالی که برنامه‌ریزی تولید کوتاه مدت بر روی نقشه‌های تولید سالیانه معدن اعمال می‌شود که این نقشه‌ها قبلًاً توسط برنامه‌ریزی تولید بلند مدت تهیه شده‌اند [1]. هدف از برنامه‌ریزی تولید کوتاه مدت عبارت است از:

- ارسال کانسنگ با عیار و تناز مشخص به کارخانه فراوری در هر بازه زمانی به منظور اطمینان یافتن از تولید کنسانترهنهایی با کمیت و کیفیت مناسب.
- فراهم آوردن جاده دسترسی به تمام پله‌های در حال کار [2].
- به حدکثر رساندن بهره‌گیری از ظرفیت تجهیزات معدنی مثل شاول، کامیون و غیره
- به حداقل رساندن زمان بیکاری ماشین‌آلات معدنی و جلوگیری از جابجایی بیش از حد آنها [4].
- به حداقل رساندن انحراف از برنامه‌ریزی تولید بلند مدت.
- در نظر گرفتن زوایای شبکه کاری معدن. [5]

استفاده از مدل‌سازی ریاضی در برنامه‌ریزی تولید از سال 1961 میلادی در معادن روباز متداول شده است. تاکنون مدل‌های متعددی برای برنامه‌ریزی تولید کوتاه‌مدت ارائه شده است اما این مدل‌ها یا نتوانستند محدودیت فضای کاری برای ماشین‌آلات را به طور موثر در نظر بگیرند و یا مبنای ریاضی نداشته و تضمینی برای بهینه بودن جواب آنها وجود نداشته است. از جمله این مدل‌ها می‌توان به مدل ویلکه و کالدر [2]، مدل ویلکه و ریمر [5]، مدل مان و ویلکه [8]، مدل چاندا و ویلکه [9] و مدل اسمیت [4] اشاره نمود. در این مقاله، مدل برنامه‌ریزی تولید کوتاه مدت طوری بسط داده می‌شود که جواب بدست آمده از حل آنها تضمین نماید که قبل از استخراج هر بلوک نه تنها باید 9 بلوک فوکانی آن برداشت شود بلکه باید 2 یا 3 بلوک موجود در پیش روی آن بلوک نیز استخراج گردد. در این راستا محدودیت دسترسی به بلوک‌های موجود در یک تراز معدن روباز جهت برداشت توسط ماشین‌آلات، تعریف می‌شود. این مدل دارای یک تابع هدف و تعدادی محدودیت است و شرط فراهم بودن فضای کاری برای ماشین‌آلات در قالب محدودیت دسترسی برآورده می‌شود.

2- مدل ریاضی برنامه‌ریزی تولید کوتاه‌مدت معادن روباز

For $t = 1, 2, 5, T$

محدودیت زاویه شیب: این محدودیت اطمینان می‌دهد که همه بلوک‌هایی که به طور مستقیم روی بلوک i, j, k قرار گرفته‌اند همزمان با بلوک k, j, i یا قبل از آن استخراج شده باشد. برای نمایش بلوک‌های محدود کننده یک بلوک، از الگوی مخروطی استفاده می‌شود. متدالو ترین الگوی مخروطی الگوی 9 بلوکی است. در این الگو بلوک‌های فوقانی هر بلوک 9 عدد در نظر گرفته می‌شود.

$$9Y_{i,j,k}^t - \sum_{l=1}^t \sum_{m=i-1}^{i+1} \sum_{n=j-1}^{j+1} Y_{m,n,k+1}^l \leq 0 \quad (6)$$

For $t = 1, 2, 5, T$; $i = 1, 2, 5, I$; $j = 1, 2, 5, J$
& $k = 1, 2, 5, K$.

محدودیت ذخیره: این محدودیت تضمین می‌کند که هر بلوک در مدل فقط یک بار استخراج شود:

(7)

$$\sum_{t=1}^T Y_{ijk}^t \leq 1$$

For $t = 1, 2, 5, T$; $i = 1, 2, 5, I$; $j = 1, 2, 5, J$ & $k = 1, 2, 5, K$

محدودیت دسترسی ماشین آلات به بلوک: با توجه به اینکه هر بلوک موجود روی یک پله معدن روباز، توسط 8 بلوک مجاور خود که در همان تراز پله واقع شده‌اند، احاطه شده است (شکل 1)، در این حالت محدودیتی به نام محدودیت دسترسی به بلوک‌های موجود در پله معدن روباز تعریف می‌شود.

1	2	3
8	ijk	4
7	6	5

شکل 8: بلوک‌های احاطه کننده بلوک k, j, i واقع در روی یک پله معدن روباز

با توجه به شکل 1 فرض می‌شود که برای استخراج بلوک i, j, k باید حداقل 2 یا 3 بلوک مجاور آن معدنکاری شود. در این حالت سه روش مختلف برای دسترسی به بلوک ijk می‌توان بررسی نمود:

الف- در روش اول فرض بر این است که برای دسترسی به بلوک k, j, i باید 3 بلوکی که از نظر مختصاتی در پیش روی آن بلوک قرار دارد، برداشت شوند تا به بلوک مورد نظر دسترسی پیدا کرد. این محدودیت، محدودیت دسترسی 3 بلوکی نوع اول

سالهای اول پروژه به شرطی که درصد این عناصر از حد مجاز فراتر نرود، می‌تواند به عنوان یک هدف مطرح باشد. این تابع تضمین می‌کند که بلوک‌هایی با درصد عناصر مزاحم بیشتر در بازه‌های زمانی اولیه استخراج شده و در بازه‌های آتی احتمال برخورد به بلوک‌هایی با درصد عناصر مزاحم بالا، کمتر شود. روش دوم استفاده از برنامه‌ریزی آرمانی است. در این روش تابع هدف، کمینه‌سازی انحرافات تعدادی از اهداف از مقادیر مورد انتظارشان است. این انحرافات به صورت متغیرهایی در محدودیت‌های مدل اعمال می‌شود. در این مقاله از روش اول استفاده می‌شود، لذا تابع هدف به صورت زیر نوشته می‌شود:

$$\text{Max } Z = \sum_{t=1}^T \sum_{c=1}^C \sum_{i=1}^I \sum_{j=1}^J \sum_{k=1}^K \frac{Y_{ijk}^t \cdot g_{ijk}^c \cdot TO_{ijk}}{(1+d)^t} \quad (1)$$

در این رابطه d یک نرخ تنزیل مجازی است که باعث می‌شود استخراج بلوک‌هایی که درصد عناصر مزاحم بالاتری دارند زودتر انجام شود.

محدودیت اختلاط عیار: عیار متوسط عنصر مضر موجود در کانسنس ارسالی به کارخانه فرآوری باید کوچکتر از حد بالای آن، G_u^c ، در هر دوره معدنکاری باشد [4]:

(2)

$$\sum_{i=1}^I \sum_{j=1}^J \sum_{k=1}^K \frac{Y_{ijk}^t \cdot g_{ijk}^c \cdot TO_{ijk}}{Y_{ijk}^t \cdot TO_{ijk}} \leq C_u^c$$

For $c = 1, 2, 5, C$; $t = 1, 2, 5, T$

همچنین عیار متوسط عنصر مفید موجود در مواد ارسالی به کارخانه فرآوری باید کوچکتر از حد بالای G_l^c و بزرگتر از حد پایین آن، G_l^c ، در هر دوره معدنکاری باشد:

$$C_l^c \leq \sum_{i=1}^I \sum_{j=1}^J \sum_{k=1}^K \frac{Y_{ijk}^t \cdot g_{ijk}^c \cdot TO_{ijk}}{Y_{ijk}^t \cdot TO_{ijk}} \leq C_u^c \quad (3)$$

For $c = C+1, C+2, 5, P$, $t = 1, 2, 5, T$

محدودیت استخراج کانسنس: کل تنازع کانسنس استخراج شده در هر دوره معدنکاری باید بزرگتر از حد پایین، OC_{\min}^t ، و کوچکتر از حد بالای آن، OC_{\max}^t ، باشد [4]:

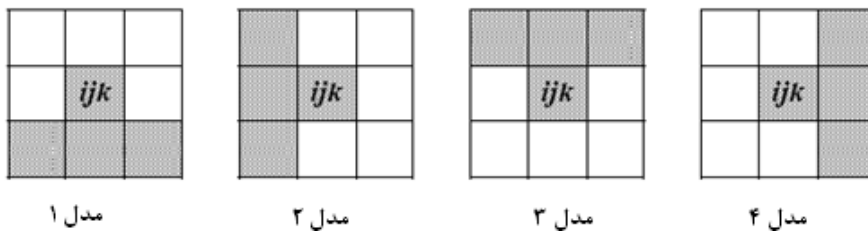
$$OC_{\min}^t \leq \sum_{i=1}^I \sum_{j=1}^J \sum_{k=1}^K Y_{ijk}^t \cdot TO_{ijk} \leq OC_{\max}^t \quad (4)$$

For $t = 1, 2, 5, T$

محدودیت ظرفیت استخراج: کل تنازع سنگ، اعم از باطله و کانسنس، که در هر دوره معدنکاری می‌شود باید بزرگتر از حد پایین، TC_{\min}^t ، و کوچکتر از حد بالای آن، TC_{\max}^t ، باشد:

$$TC_{\min}^t \leq \sum_{i=1}^I \sum_{j=1}^J \sum_{k=1}^K Y_{ijk}^t \cdot (TO_{ijk} + TW_{ijk}) \leq TC_{\max}^t \quad (5)$$

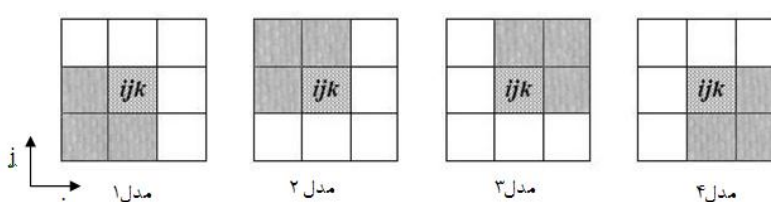
i,j,k ساخته می شود (شکل 2) و مدل سازی بر اساس این مخروط انجام می گیرد.



شکل 2: انواع روش های دسترسی به یک بلوک در محدودیت دسترسی 3 بلوکی نوع اول

بالا حداقل باید یکی از محدودیت های 8 تا 11 انتخاب شود و فعال باشد. برای مثال اگر فرض شود که $X'_1 = 1$, $X'_2 = 1$, $X'_3 = 0$, $X'_4 = 1$ باشند، بنابراین محدودیت 9 انتخاب شده و بلوک i,j,k از سمت شرق قابل دسترسی خواهد بود. حال اگر فرض شود که $X'_1 = 1$, $X'_2 = 0$, $X'_3 = 0$, $X'_4 = 1$ باشند، آنگاه محدودیت های 9 و 11 انتخاب شده و بلوک i,j,k از سمت شرق و شمال قابل دسترسی خواهد بود. با توجه به مطالب بالا، می توان گفت که X'_i موجود در روابط بالا، شاخصی برای انتخاب جهت مختصه برای دسترسی به بلوک ها است.

ب- روش دوم این است که، تعداد بلوکی که باید برداشت شوند تا به بلوک مفروض دسترسی پیدا شود، همان 3 بلوک مجاور باشد به طوری که یکی از 3 بلوک مجاور در گوش این 9 بلوک واقع باشد، با تأکید بر این نکته که 3 بلوک مفروض باید بهم چسبیده بوده و در کنار یکدیگر قرار داشته باشند. این محدودیت، محدودیت دسترسی 3 بلوکی نوع دوم نام دارد. حال با این فرض، برای بسط مدل بر اساس این محدودیت، ابتدا مانند حالت قبل یک مخروط افقی روی بلوک مفروض i,j,k ، مطابق شکل 3 ایجاد شده و محدودیت های جدید بر اساس الگوی نشان داده شده تعریف می شود.



شکل 3: انواع الگوهای دسترسی در محدودیت دسترسی 3 بلوکی نوع دوم برای بلوک k

نامگذاری می شود. با این فرض برای بسط مدل ریاضی محدودیت دسترسی بلوک ها، ابتدا یک مخروط افقی روی بلوک

با توجه به شکل 2 از چهار جهت مختلف می توان به بلوک i,j,k دسترسی پیدا کرد: از جهت های شمال، جنوب، غرب و شرق. حال اگر بلوک هایی که داخل یکی از این مخروط ها قرار می گیرند قبل از بلوک i,j,k یا به طور همزمان با بلوک i,j,k استخراج شوند، در این صورت بلوک i,j,k قابل دسترسی و استخراج خواهد بود. با تأکید بر این نکته که لاقل یکی از جهت های چهار گانه برای دسترسی بلوک ها لازم و کافی است، بنابراین محدودیت دسترسی را می توان به صورت زیر نوشت:

$$3Y'_{ijk} - \sum_{l=1}^t (Y'_{i-1,j-1,l} + Y'_{i,j-1,l} + Y'_{i+1,j-1,l}) \leq BX'_4 \quad (8)$$

$$3Y'_{ijk} - \sum_{l=1}^t (Y'_{i-1,j-1,l} + Y'_{i-1,j,l} + Y'_{i-1,j+1,l}) \leq BX'_3 \quad (9)$$

$$3Y'_{ijk} - \sum_{l=1}^t (Y'_{i+1,j-1,l} + Y'_{i,j-1,l} + Y'_{i-1,j+1,l}) \leq BX'_2 \quad (11)$$

$$3Y'_{ijk} - \sum_{l=1}^t (Y'_{i+1,j-1,l} + Y'_{i+1,j,l} + Y'_{i+1,j+1,l}) \leq BX'_1 \quad (11)$$

(12)

$$X'_1 + X'_2 + X'_3 + X'_4 \leq 3$$

در روابط 8 تا 11، B معرف یک عدد بزرگ است که به منظور انتخاب حداقل یک محدودیت از میان محدودیت های ذکر شده در قسمت بالا تعریف می شود و X'_i نیز یک متغیر عدد صحیح است که مقدار آن صفر یا یک است. از میان پنج محدودیت ذکر شده در

دسترسی 2 بلوکی نام دارد. با توجه به شکل 4 محدودیت دسترسی را می‌توان به صورت زیر نوشت:

$$2Y_{ijk}^t - \sum_{l=1}^t (Y_{i+1,j-1,k}^l + Y_{i,j-1,k}^l) \leq BX_1^t \quad (18)$$

$$2Y_{ijk}^t - \sum_{l=1}^t (Y_{i,j-1,k}^l + Y_{i-1,j-1,k}^l) \leq BX_2^t \quad (19)$$

$$2Y_{ijk}^t - \sum_{l=1}^t (Y_{i-1,j-1,k}^l + Y_{i-1,j,k}^l) \leq BX_3^t \quad (21)$$

$$2Y_{ijk}^t - \sum_{l=1}^t (Y_{i-1,j,k}^l + Y_{i-1,j+1,k}^l) \leq BX_4^t \quad (21)$$

$$5 \quad \text{مدل} \quad (22)$$

$$2Y_{ijk}^t - \sum_{l=1}^t (Y_{i-1,j+1,k}^l + Y_{i,j+1,k}^l) \leq BX_5^t$$

$$2Y_{ijk}^t - \sum_{l=1}^t (Y_{i,j+1,k}^l + Y_{i+1,j+1,k}^l) \leq BX_6^t \quad (23)$$

$$7 \quad \text{مدل} \quad (24)$$

$$2Y_{ijk}^t - \sum_{l=1}^t (Y_{i+1,j+1,k}^l + Y_{i+1,j,k}^l) \leq BX_7^t$$

$$2Y_{ijk}^t - \sum_{l=1}^t (Y_{i+1,j,k}^l + Y_{i+1,j-1,k}^l) \leq BX_8^t \quad (25)$$

$$X_1^t + X_2^t + X_3^t + X_4^t + X_5^t + X_6^t + X_7^t + X_8^t \leq 7 \quad (26)$$

در روابط 18 تا 26 نیز همانند حالت های قبل، B معرف یک عدد بزرگ و X_i^t نیز یک متغیر صفر و یک است. حال در این بخش جهت مقایسه بین محدودیتهای دسترسی ارائه شده در بخش قبل، یک مثال از یک معدن روباز کوچک مطرح شده و مدل‌های ریاضی برنامه ریزی تولید کوتاه-مدتی که با سه نوع محدودیت دسترسی بلوکی ساخته می‌شود با هم مقایسه می‌شوند.

همانند روش قبل و با توجه به شکل (3) به بلوک i,j,k می‌توان از چهار جهت مختلف دسترسی پیدا کرد. ذکر این نکته لازم است که لااقل یکی از جهت‌ها برای دسترسی بلوک‌ها لازم و کافی است، بنابراین محدودیت دسترسی را می‌توان به صورت زیر نوشت:

$$1 \quad \text{مدل} \quad (13)$$

$$3Y_{ijk}^t - \sum_{l=1}^t (Y_{i,j-1,k}^l + Y_{i-1,j-1,k}^l + Y_{i-1,j,k}^l) \leq BX_1^t \quad (14)$$

$$2 \quad \text{مدل} \quad (15)$$

$$3Y_{ijk}^t - \sum_{l=1}^t (Y_{i-1,j,k}^l + Y_{i-1,j+1,k}^l + Y_{i,j+1,k}^l) \leq BX_2^t \quad (16)$$

$$3 \quad \text{مدل} \quad (17)$$

$$3Y_{ijk}^t - \sum_{l=1}^t (Y_{i,j+1,k}^l + Y_{i+1,j+1,k}^l + Y_{i+1,j,k}^l) \leq BX_3^t$$

$$4 \quad \text{مدل} \quad (18)$$

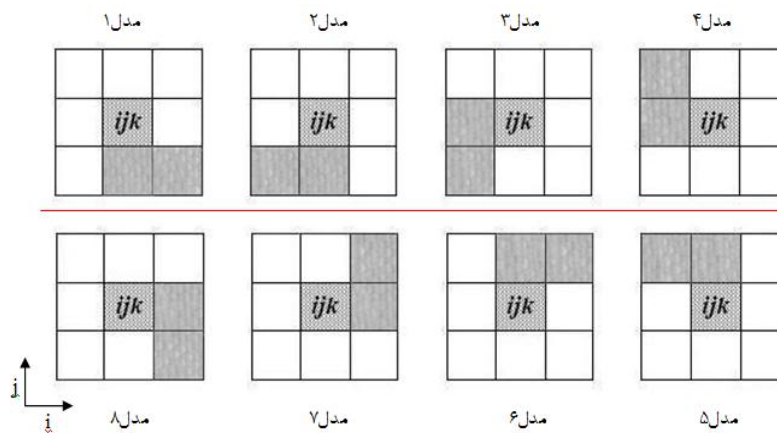
$$3Y_{ijk}^t - \sum_{l=1}^t (Y_{i+1,j,k}^l + Y_{i+1,j-1,k}^l + Y_{i,j-1,k}^l) \leq BX_4^t$$

$$X_1^t + X_2^t + X_3^t + X_4^t \leq 3$$

در روابط 13 تا 17 نیز همانند حالت قبل، B معرف یک عدد بزرگ است که به منظور انتخاب حداقل یک محدودیت از میان محدودیتهای ذکر شده در قسمت فوق استفاده می‌شود و X_i^t نیز یک متغیر عدد صحیح است که مقدار آن صفر یا یک بوده و شاخصی برای انتخاب جهت مناسب برای دسترسی به بلوک‌ها می‌باشد.

- روش بعدی برای تعریف محدودیت دسترسی این است که برای دسترسی به بلوک i,j,k می‌توان به جای برداشت سه بلوک پیش رو و مجاور بلوک j,k ، تعداد 2 بلوک مجاور آن برداشته شود به شرطی که ایر

مدل ۴ محدودیت که در شکل 4 ز



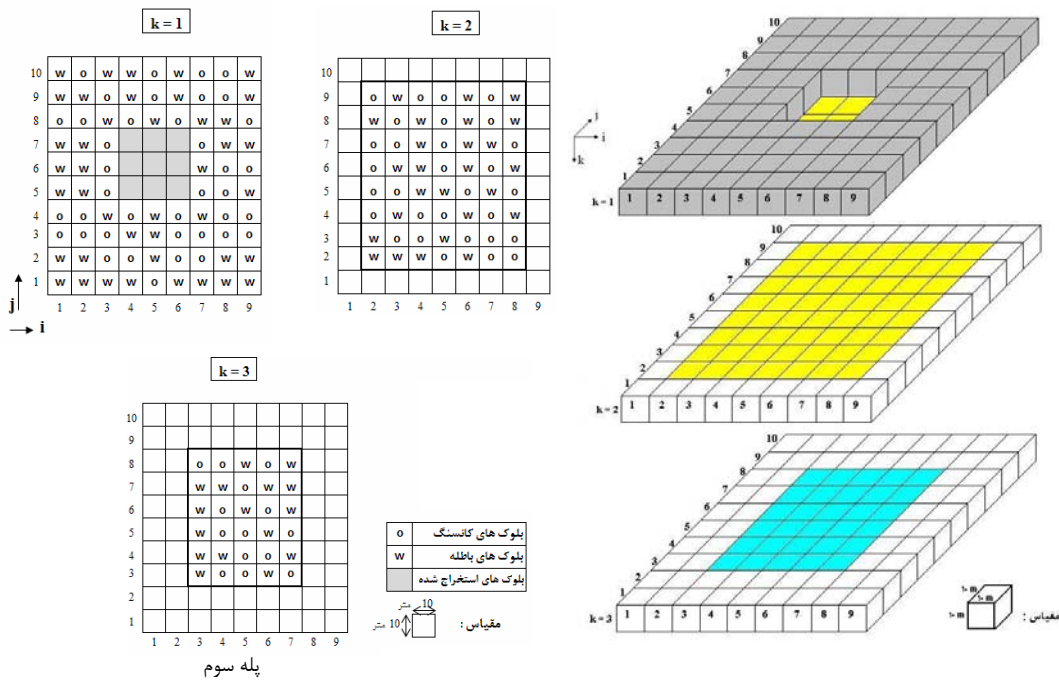
شکل 4: انواع الگوهای دسترسی در محدودیت دسترسی 2 بلوکی برای بلوک i,j,k .

معدن، می‌توان برنامه‌ریزی تولید کوتاه‌مدت آن را انجام داد. هدف تهیه نقشه‌های برنامه‌ریزی تولید کوتاه مدت این معدن برای سه تراز و در سه دوره زمانی است که بلوک‌های واقع در این سه تراز همه مربوط به یک دوره زمانی برنامه‌ریزی تولید بلند مدت هستند. بلوک‌های این سه تراز در شکل ۵ نشان داده شده‌اند. این دوره‌های زمانی را می‌توان بر حسب توان استخراج معدن و کارخانه فرآوری، روزانه، هفتگی یا ماهانه در نظر گرفت. با توجه به شکل ۵، تعداد کل بلوک‌های موجود در این سه تراز ۱۶۷ بلوک بوده که از این تعداد بلوک، ۸۳ بلوک آن کانسنگ و ۸۴ بلوک آن باطله است.

۳- مشخصات کانسنگ در معدن سنگ آهن

در یک معدن روباز سنگ آهن که آهن که به عنوان تنها عنصر مفید در این معدن است، عیار آهن در بلوک‌های کانسنگ بین ۲۵ تا ۷۱ درصد متغیر است. همچنین در این معدن فسفر به عنوان تنها عنصر مزاحم بوده که عیار این عنصر نیز در بلوک‌های کانسنگ بین صفر تا ۱/۳ درصد متغیر است. ابعاد بلوک‌ها $11 \times 11 \times 11$ متر، وزن مخصوص ماده معدنی و باطله به ترتیب $5/4$ و $2/7$ تن بر مترمکعب می‌باشد.

با توجه به بلوک‌بندی انجام شده، محدوده نهایی با استفاده از الگوریتم لرج و گروسمن تعیین شده و بعد از تعیین محدوده نهایی معدن، برنامه‌ریزی تولید بلندمدت آن نیز انجام شده است. با در دست داشتن پلان‌های برنامه‌ریزی تولید بلند مدت



شکل ۵: مختصات و نوع بلوک‌های واقع در سه تراز از یک معدن روباز.

ج) این معدن با توجه به ناوگان بارگیری و باربری آن، در هر دوره قابلیت تولید سنگ بین ۲۱۱ هزار تا ۲۵۱ هزار تن، اعم از کانسنگ و باطله را دارد.

د) در این معدن با توجه به ابعاد ماشین آلات بارگیری و باربری، حداقل فضایی که لازم است تا این ماشین آلات بتوانند فعالیت کنند ۲۱ متر (به اندازه ۲ بلوک) است. با توجه به این فرض سه روش مختلف اعمال محدودیت دسترسی بلوک‌ها که قبلاً به آنها اشاره شد در این معدن پیاده می‌شود.

ه) نرخ تنزیل در این معدن ۱۴ درصد فرض می‌شود.

۳-۸- محدودیت‌های مدل برنامه‌ریزی تولید در معدن سنگ آهن

محدودیت‌های عملیاتی در این معدن به شرح زیر است:
الف) کانسنگ ورودی به کارخانه فرآوری باید دارای عیار آهن بزرگتر از ۴۷٪ و فسفر کمتر از ۱/۲٪ باشد.

ب) با توجه به توان کارخانه فرآوری جهت تولید کنسانتره مورد نیاز معدن، در هر دوره، تناز کانسنگی که باید به کارخانه فرآوری ارسال گردد، بین ۱۲۱ هزار تا ۱۵۱ هزار تن است.

کاهش یافته که این خود باعث کاهش زمان حل مسئله اصلی می‌شود.

اولین گام برای حل مسئله، تهیه یک فایل ورودی از مسئله برنامه‌ریزی تولید است. این فایل توسط نرم‌افزار Excel 2007 تهیه شده است. مشخصات مدل‌های مختلف برنامه‌ریزی تولید کوتاه مدت در معدن مفروض در جدول ۱ آورده شده است. بعد از تهیه مدل‌های مختلف، با استفاده از نرم افزار Premium Solver Platform Version 9.0 حل شده است.

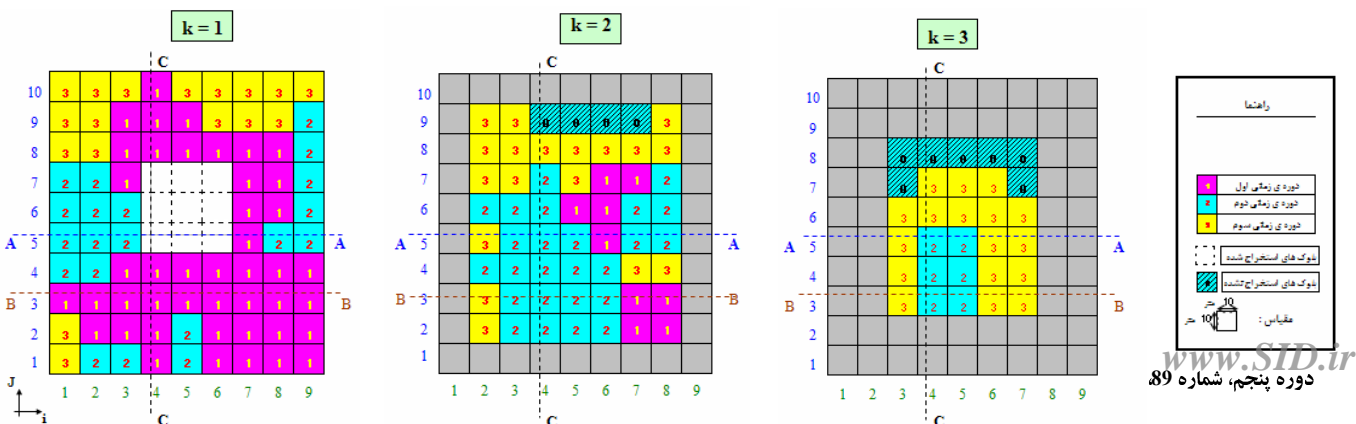
پلان‌های کوتاه مدت به دست آمده از حل سه مدل ریاضی با استفاده از این نرم‌افزار، در شکل‌های ۶، ۷ و ۸ به همراه سه مقطع از آنها نشان داده شده است. این شکل‌ها نشان دهنده زمان و ترتیب استخراج بلوک‌های کانسنگ و باطله در افق‌های مختلف از اولین پیش‌روی هستند. فاصله این پلان‌ها از یکدیگر ۱۱ متر، برابر با ارتفاع پله‌ها در نظر گرفته شده است. اعداد نوشته شده در هر بلوک، نشان دهنده زمان استخراج آن است. تناز کانسنگ و باطله استخراجی، عیار متوسط آهن و عیار متوسط فسفر در هر یک از دوره‌های زمانی و برای سه مدل مختلف، در جدول ۲ درج شده است.

3-2- پیاده سازی مدل ریاضی برنامه ریزی تولید کوتاه مدت
گام بعدی، پیاده سازی مدل‌های ریاضی ارایه شده در این مقاله در محدوده سه تراز ذکر شده از این معدن است. بدین منظور سه دوره زمانی در نظر گرفته شده است. برای حل مدل ریاضی، از نرم‌افزار Premium Solver Platform Version 9.0 استفاده شد [7].

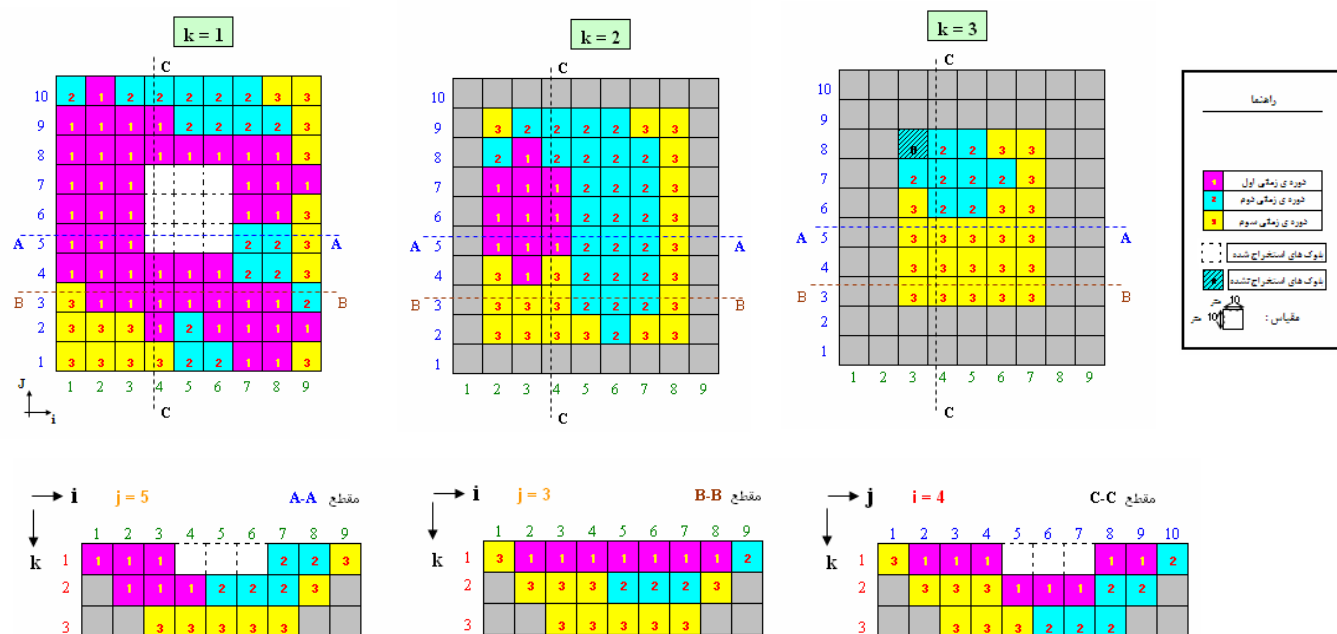
این نرم افزار دارای چندین موتور برای حل مسایل مختلف از مسایل خطی تا مسایل بهینه‌سازی غیر خطی می‌باشد. موتور حل XPRESS یکی از قویترین و بهترین موتورهای حل این نرم‌افزار است. استراتژی حل مسایل عدد صحیح در این موتور، روش شاخه و برش است. این روش در واقع ترکیبی از دو روش صفحات برش و روش شاخه و حد است. در روش شاخه و حد، مسئله اصلی به مسایل فرعی شکسته شده و هر زیر مسئله توسط روش سیمپلکس حل می‌شود. اگر چه اعمال محدودیت برش به مسایل فرعی باعث افزایش زمان حل آنها می‌شود، اما در عوض تعداد مسایل فرعی که باید توسط برنامه حل شود،

جدول 8 : مشخصات مدل‌های مختلف برنامه ریزی تولید معدن

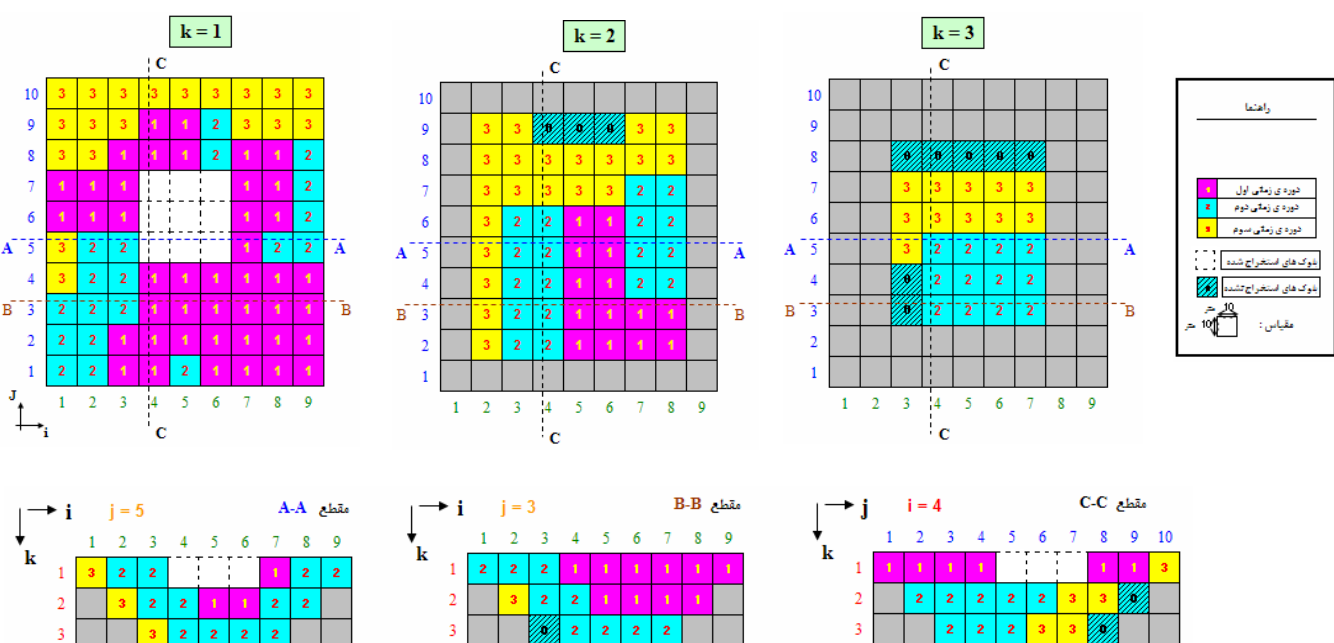
مشخصات مدل	مدل دو بلوکی	مدل سه بلوکی نوع دوم	مدل سه بلوکی نوع اول
تعداد متغیرهای صفر و یک	4519	2361	2515
تعداد محدودیتهای زاویه شبی	258	167	258
تعداد محدودیتهای ذخیره	167	2325	167
تعداد محدودیتهای دسترسی بلوکها	4519	2515	3
تعداد محدودیتهای عیار آهن	3	3	3
تعداد محدودیتهای عیار فسفر	3	3	3
تعداد محدودیتهای تناز کانسنگ	6	6	6
تعداد محدودیتهای تناز کل استخراجی	6	6	6
تعداد محدودیتهای صفر و یک برای محدودیت دسترسی	4118	1861	2114
تعداد محدودیتهای صفر و یک	167	167	167
تعداد کل محدودیتهای مدل	9127	4795	5119



شکل 6: زمانبندی بدست آمده از مدل دسترسی دو بلوکی برای استخراج بلوک‌های کانسنگ و باطله در سه پله معدن.



شکل 7: زمانبندی بدست آمده از مدل دسترسی سه بلوکی نوع اول برای استخراج بلوک‌های کانسنگ و باطله در سه پله معدن.



شکل 8: زمان‌بندی بدست آمده از مدل دسترسی سه بلوکی نوع دوم برای استخراج بلوک‌های کانسنسنگ و باطله در سه پله معدن.

RAM برابر با 512 MB بوده که مدت زمان حل برای مدل با محدودیت دسترسی از نوع دو بلوکی 1 ساعت و 44 دقیقه، برای مدل با محدودیت دسترسی از نوع سه بلوکی نوع اول 1 ساعت و 5 دقیقه و برای مدل با محدودیت دسترسی از نوع سه بلوکی نوع دوم، 1 ساعت و 7 دقیقه می‌باشد.

علت اینکه مدت زمان حل مدل اول بیشتر از دو مدل دیگر می‌باشد این است که در مدل اول تعداد محدودیت دسترسی و همچنین تعداد محدودیت صفر و یک آن تقریباً دو برابر مدل‌های دوم و سوم است و به تبع آن مدت زمان حل این مدل نیز بیشتر از دو حالت دیگر می‌باشد.

با توجه به موارد ذکر شده محدودیت دسترسی سه بلوکی نوع اول برای این معدن از دو محدودیت دیگر مناسب‌تر است.

با مقایسه بین نتایج حل مدل‌های مختلف، نتایج زیر بدست می‌آید :

الف- کمترین مقدار تابع هدف بدست آمده مربوط به مدلی است که محدودیت دسترسی آن از نوع دو بلوکی است و بیشترین مقدار تابع هدف بدست آمده مربوط به مدلی می‌باشد که محدودیت دسترسی آن از نوع سه بلوکی نوع اول است.

ب- با توجه به شکل‌های (6)، (7) و (8)، بیشترین تعداد بلوکی که نباید در سه دوره زمانی استخراج شوند مربوط به مدلی است که محدودیت دسترسی آن از نوع دو بلوکی می‌باشد و کمترین آن مربوط به مدلی است که محدودیت دسترسی آن از نوع سه بلوکی نوع اول است.

ج- رایانه‌ای که برای حل سه مدل ذکر شده در نرم افزار استفاده شده است، دارای CPU برابر با 2.8 GHz و Solver

جدول 2: تناظر کانسنسنگ و باطله، عیار متوسط آهن و فسفر با حل مدل‌های مختلف.

متوجه عیار فسفر (%)	متوجه عیار آهن (%)	باطله استخراجی (هزار تن)	کانسنسنگ استخراجی (هزار تن)	دوره اول	دوره دوم	دوره سوم	دوره اول	دوره دوم	دوره سوم	دوره اول	دوره دوم	دوره سوم	دوره اول	دوره دوم	دوره سوم
1/19	55/44	64/8	145/8	(نوع محدودیت دسترسی دو بلوکی)	مدل اول	مدل دوم	(نوع محدودیت دسترسی سه بلوکی)	نوع اول							
1/157	53/96	67/5	145/8												
1/134	47/7	81	124/2												
1/186	57/15	78/3	145/8	(نوع محدودیت دسترسی سه بلوکی)	مدل دوم	(نوع اول)	نوع اول	نوع اول	نوع اول	نوع اول	نوع اول	نوع اول	نوع اول	نوع اول	
1/151	49/9	71/2	145/8												
1/146	49/7	78/3	145/8												
1/19	54/14	72/9	145/8	(نوع محدودیت دسترسی سه بلوکی نوع دوم)	مدل سوم	نوع دوم	نوع دوم	نوع دوم	نوع دوم	نوع دوم	نوع دوم	نوع دوم	نوع دوم	نوع دوم	
1/156	54/67	67/5	145/8												
1/136	48/58	72/9	129/6												

همچنین ابعاد بلوک‌ها است. به منظور تعیین بهترین محدودیت دسترسی برای هر معدن مدل‌های ریاضی مختلفی که با توجه به سه محدودیت دسترسی 2 بلوکی، 3 بلوکی نوع اول و دوم نوشته و بعد از حل مدل‌های مختلف نتایج حل آنها با هم مقایسه شد و بهترین مدل با توجه به محدودیت دسترسی آن انتخاب گردید. در این راستا در این مقاله جهت مقایسه بین سه نوع محدودیت دسترسی ذکر شده، با ذکر مثال از یک معدن سنگ آهن به مقایسه بین آنها پرداخته و بعد ساخت و تهیه مدل‌های ریاضی ذکر شده در نرم افزار Excel و حل مدل‌های مختلف توسط نرم افزار Premium Solver

4- نتیجه گیری

مدل‌های قدیمی برنامه‌ریزی تولید کوتاه‌مدت که بر مبنای برنامه‌ریزی عدد صحیح استوار است نمی‌تواند یک برنامه عملیاتی برای برداشت بلوک‌ها ارایه دهد، چون هیچ تضمینی در فراهم بودن فضای کاری برای ماشین‌آلات معدنی در این مدل‌ها وجود ندارد. در این مقاله محدودیت‌هایی به مدل برنامه‌ریزی تولید اضافه شد که تضمین می‌کند قبل یا همزمان با استخراج یک بلوک، تعدادی از بلوک‌های اطراف آن حتماً برداشت شده باشد. در ضمن محدودیت دسترسی برای هر معدن وابسته به ابعاد ماشین‌آلات معدنی جهت انجام فعلیت و

- [2] Fytas K., Calder P.N.; 1986; *A computerized model of open pit short and long range production scheduling*"; Proceeding of Application of Computers and Operations Research in the Mineral Industry, 1986, pp. 109-119.
- [3] Silva K.S., Moura M.M., Lanna, Saliby E., Fleurisson J-A.; 1999; *Short term mine planning: Selection of working sites in iron ore mines*; Proceeding of Application of Computers and Operations Research in the Mineral Industry, 1999, pp. 763-770.
- [7] Premium Solver Platform Version 9.0; 2008; User Guide by Frontline Systems, Inc.
- [8] Mann, C., Wilke, F.L., 1992; "Open Pit Short Term Mine Planning for Grade Control-A Combination of CAD Techniques and Linear Programming", 23rd APCOM,SME, Colorado, pp.487-497.
- [9] Chanda, E.K., Wilke, F.L.; 1992; "An EPD Model of Open Pit Short Term Production Scheduling Optimization for Stratiform Ore Bodies", 23rd APCOM, SME, Colorado, pp.759-768.

Platform Version 9.0 مقایسه گردیده است. نتایج حاصل از حل آنها با هم معدن فرضی، مدلی است که محدودیت دسترسی آن از نوع سه بلوکی نوع اول باشد و علت آن است که بیشترین مقدار تابع هدف بدست آمده مربوط به این مدل میباشد.

منابع

- [1] Lerchs H., Grossman F.; 1965; *Optimum design of open-pit mines*; Transaction CIM, Vol. 58, No.633, pp 47-54.
- [4] Smith. M.L.; 1998; *Optimization short-term production schedules in surface mining: Integrating mine modeling software with AMLP/CPLEX*; International journal of surface mining, reclamation and environmental, Vol. 12, 1998, pp. 149-155.
- [5] Wilke F.L., Reimer TH.; 1979; *Optimizing the short-term production schedule for an open-pit iron ore mining system*"; Computer methods for the 80's in the mineral industry, society of mining engineers of A.I.M.E pp. 642-646.
- [6] Gershon M.E.; 1987; *An open pit production scheduler: algorithm and implementation*". Mining Engineering, pp. 793-796.